

# ЗАО «МОДЕЛИРОВАНИЕ И МОНИТОРИНГ ГЕОЛОГИЧЕСКИХ ОБЪЕКТОВ ИМЕНИ В.А.ДВУРЕЧЕНСКОГО» (ЗАО «МиМГО»)

# Применение машинного обучения на основе теоремы Байеса для интерпретации вероятности появления коллектора в кислых вулканитах Западной Сибири

\*Руденко В.Ю., Гуренцов Д.Е., Гаврилов С.С. ЗАО «МиМГО»

#### Проблематика/объект исследования

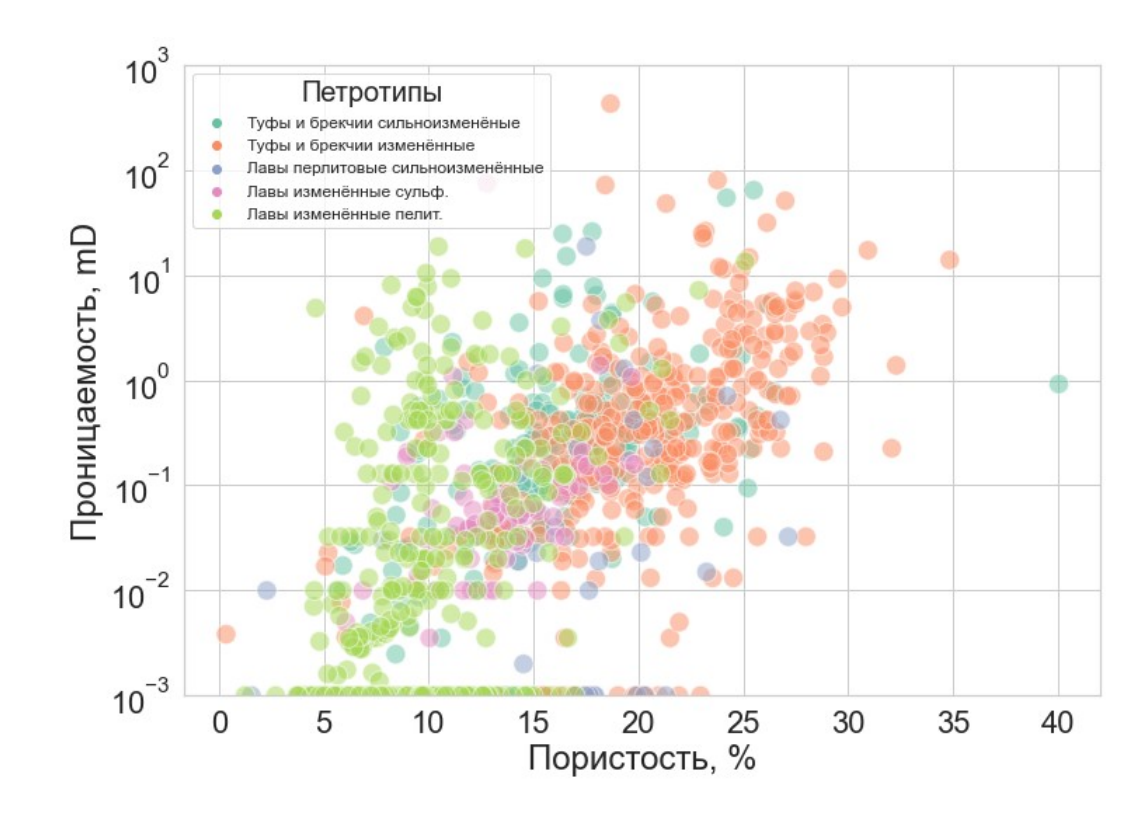
Объект исследования - кислые вулканиты Западной Сибири и определение их коллекторского потенциала.

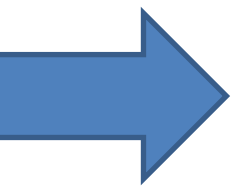
#### Условия формирования определяют:

- Высокую неоднородность,
- Невысокую в среднем проницаемость пор,
- Множественные вторичные изменения,
- Закрытые поры и каверны,
- Трещины разной направленности, генезиса и масштаба

#### Всё это приводит:

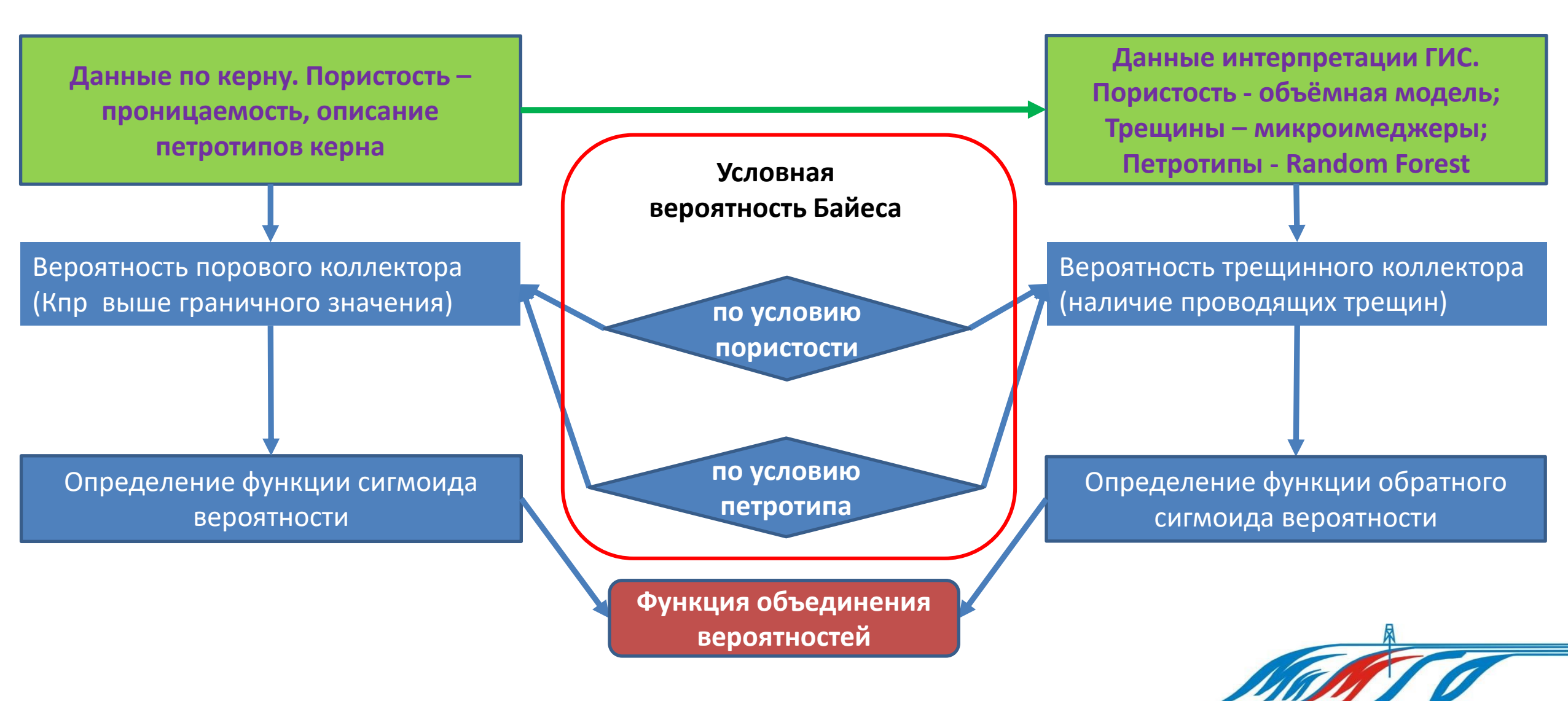
- ✓ неоднозначность выделения эффективных толщин
- ✓ отсутствие явной связи между дебитами и параметрами ФЕС (пористостью)
- отсутствие однозначно безприточных интервалов испытаний комплексного результатам анализа профилей притока.





дифференциация Однозначная коллекторов И неколлекторов ПО общепринятым алгоритмам невозможна.

#### Граф обработки



#### Теоретические основы метода

Условная вероятность Байеса. Теорема Байеса — одна из основных теорем элементарной теории вероятностей, которая позволяет определить вероятность события при условии, что произошло другое статистически взаимозависимое с ним событие. Другими словами, по формуле Байеса можно более точно пересчитать вероятность, взяв в расчёт как ранее известную информацию, так и данные новых наблюдений.

$$P(A|B) = \frac{P(B|A)P(A)}{P(B)},$$

P(A) – априорная вероятность гипотезы A; (вероятность коллектора)

P(A|B) — вероятность гипотезы A при наступлении события B (апостериорная вероятность); (вероятность коллектора при различных пористостях)

P(B|A) — вероятность наступления события B при истинности гипотезы A; (вероятность появления заданного значения пористости в коллекторе)

P(B) — полная вероятность наступления события B. (вероятность каждого из значений пористости)

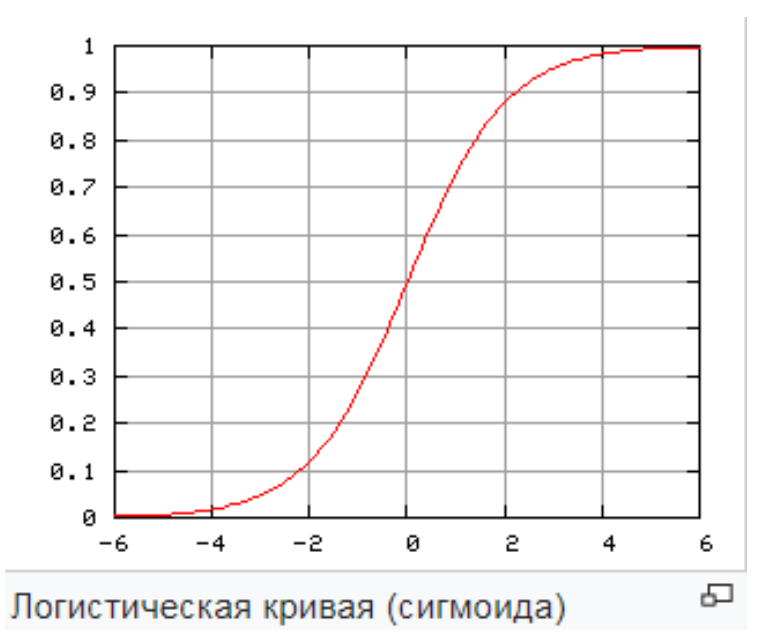
#### Теоретические основы метода. Вероятность с помощью функции сигмоиды

Cигмо́ида — это гладкая монотонная возрастающая нелинейная функция, имеющая форму буквы «S».

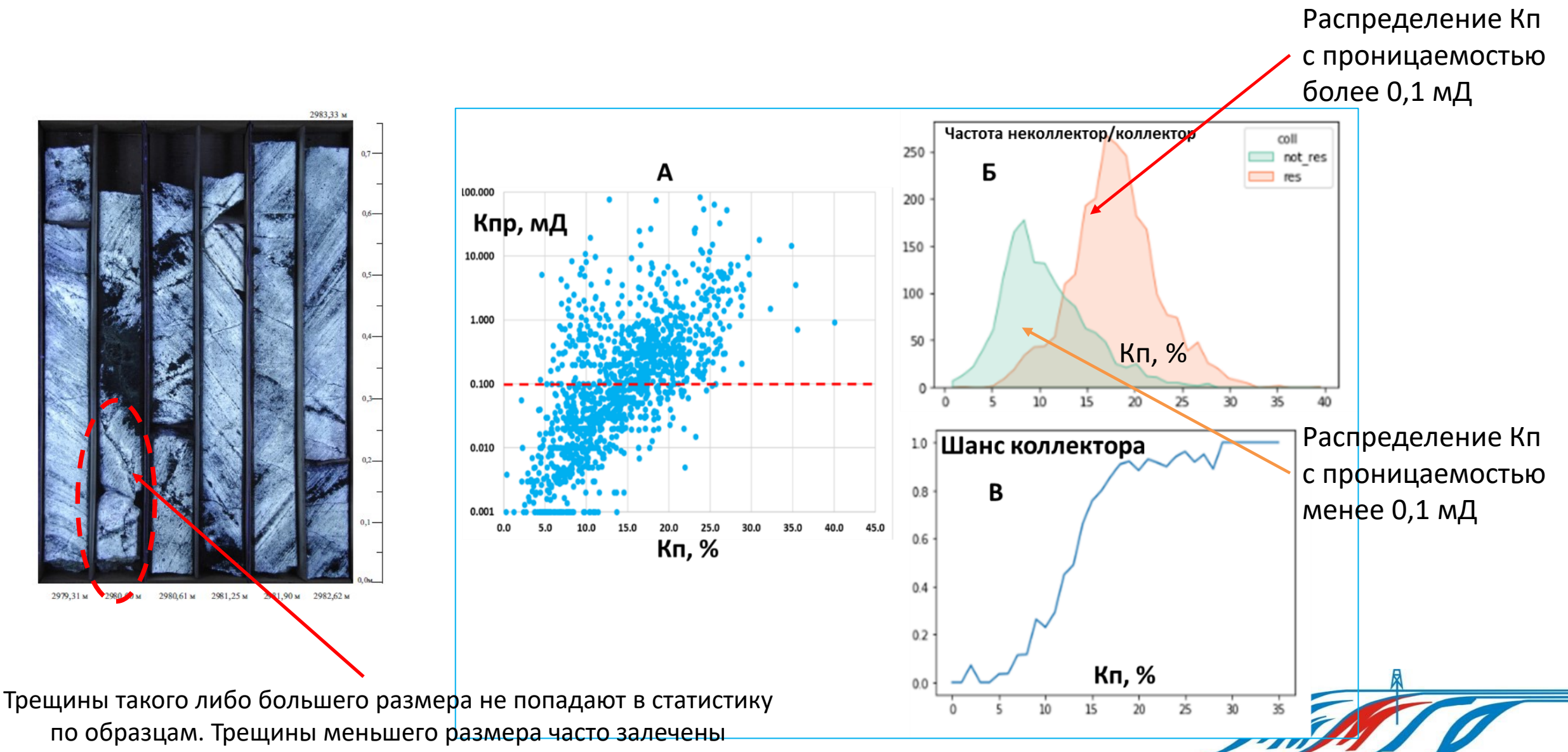
$$\sigma(x) = \frac{1}{1 + e^{-x}}.$$

- Ограничена от нуля до одного. Это позволяет просто нормировать любые входящие в неё параметры, а также просто понимать, в каких пределах будет лежать её значение.
- Монотонна. Это значит, что она всегда возрастает. Т.е. любое "более правое" значение функции всегда больше того, что находится слева. Это существенно упрощает любой анализ.
- Слева от нуля она вогнутая, а справа выпуклая. Т.е. характер роста функции может быть любым. И, что самое главное, понятно где он какое значение принимает.
- При этом при больших значениях аргумента и слева, и справа угол наклона практически нулевой и радиус выпуклости\вогнутости практически бесконечный. Т.е. для больших значений аргумента мы имеем фактически постоянное значение функции.

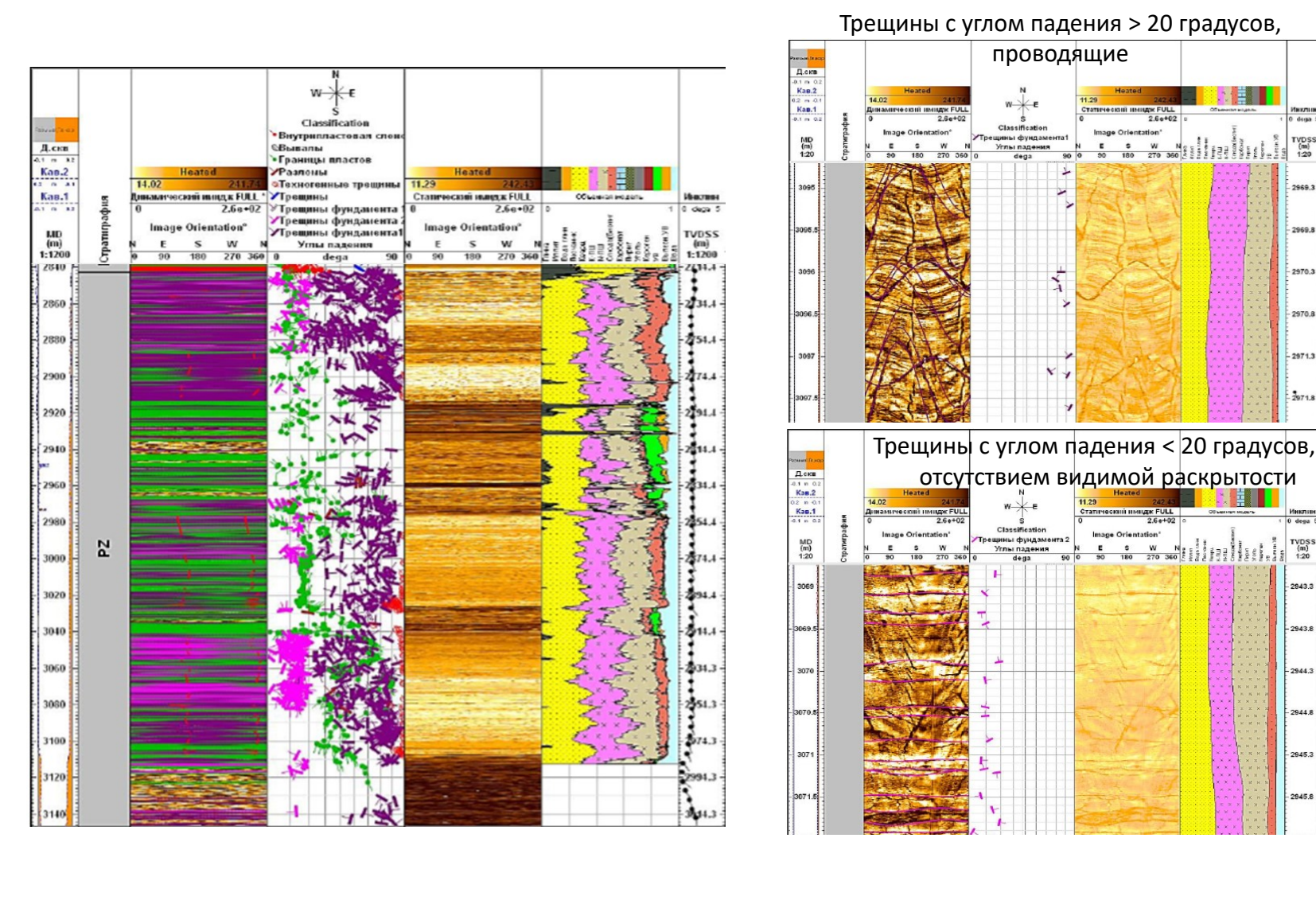
С помощью линейной комбинации сигмоид можно бесконечно приблизиться фактически к любой наперёд заданной функции на конкретном интервале.

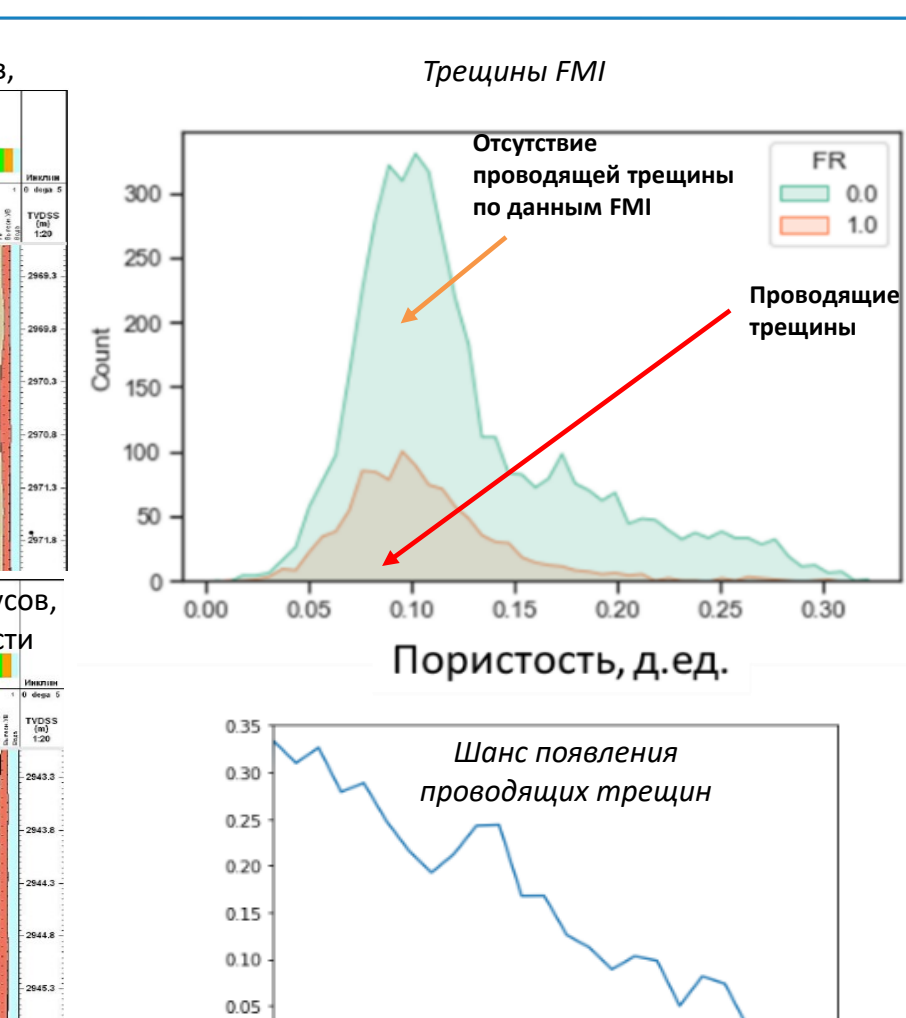


## Вероятность порового типа коллектора при различной пористости



#### Вероятность проводящих трещин, при различной пористости





0.00

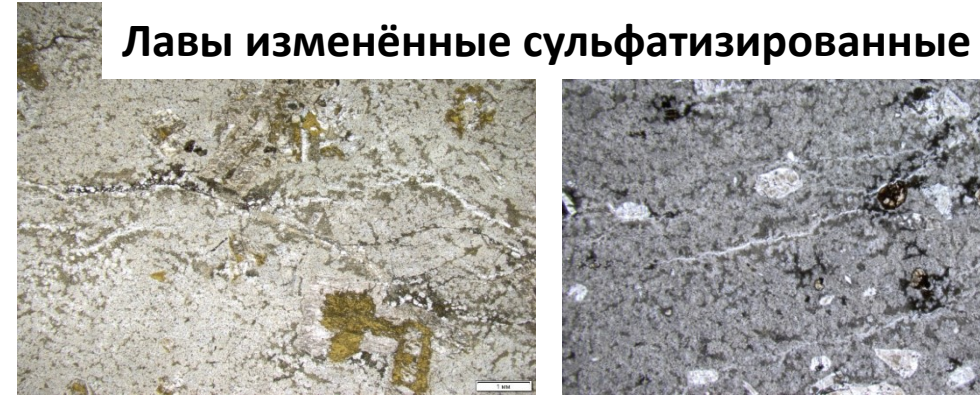
### По результатам комплексного анализа керна и ГИС были выделены 6 петротипов. Петротипы эффузивов



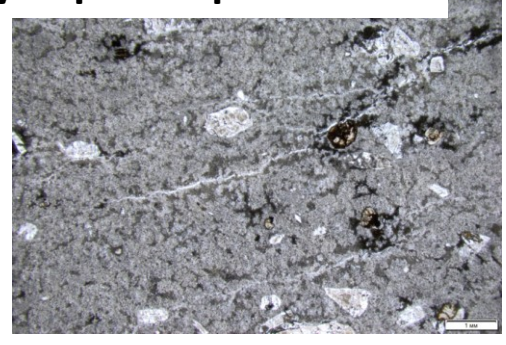
Афировый флюидальный дацит



Метасоматизированные порфировые дациты



Порфировый дацит



Порфировый слабофлюидальный дацит

#### Лавы перлитовые сильноизменённые



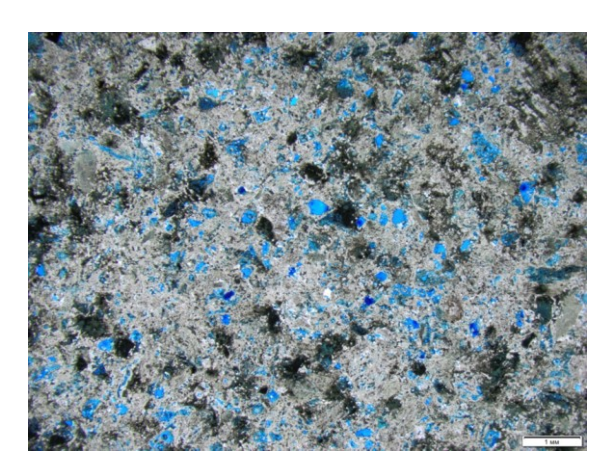
Порфировые перлитовые дациты с вкрапленниками полевых шпатов



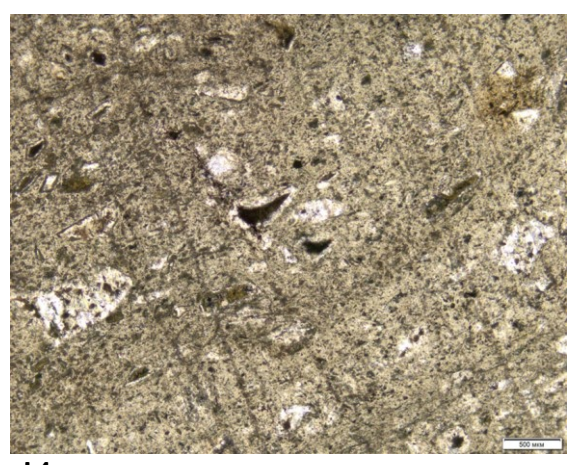
Перлитовые дациты с окварцованной основной массой и карбонатными жилами



#### Петротипы кластолав и туфов



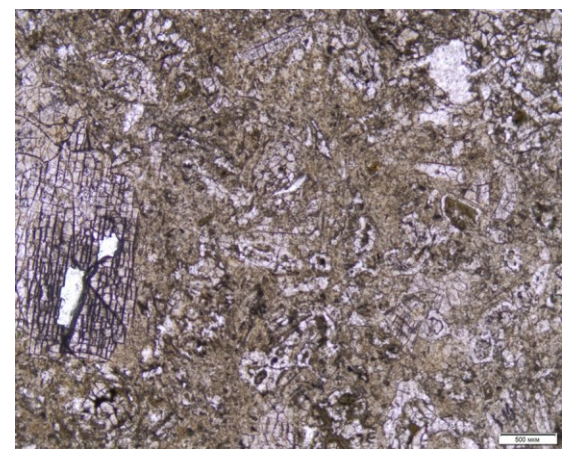
Кварцевый конгломерат



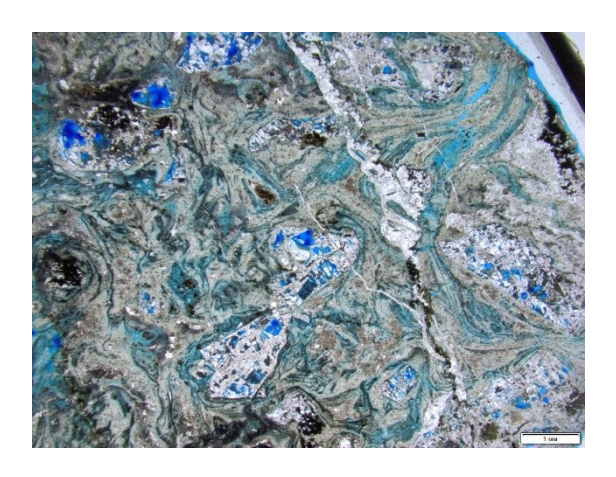
Измененные витрокласты в риодацитовых туфах



Лапиллиево-пепловые кристаллодитовитрокластические риолитовые туфы



Кристаллолитокластическая андезидацитовая брекчия



Туфы и брекчии изменённые

Пеплово- лапиллиевые дитокристалловитрокластические дацитовые

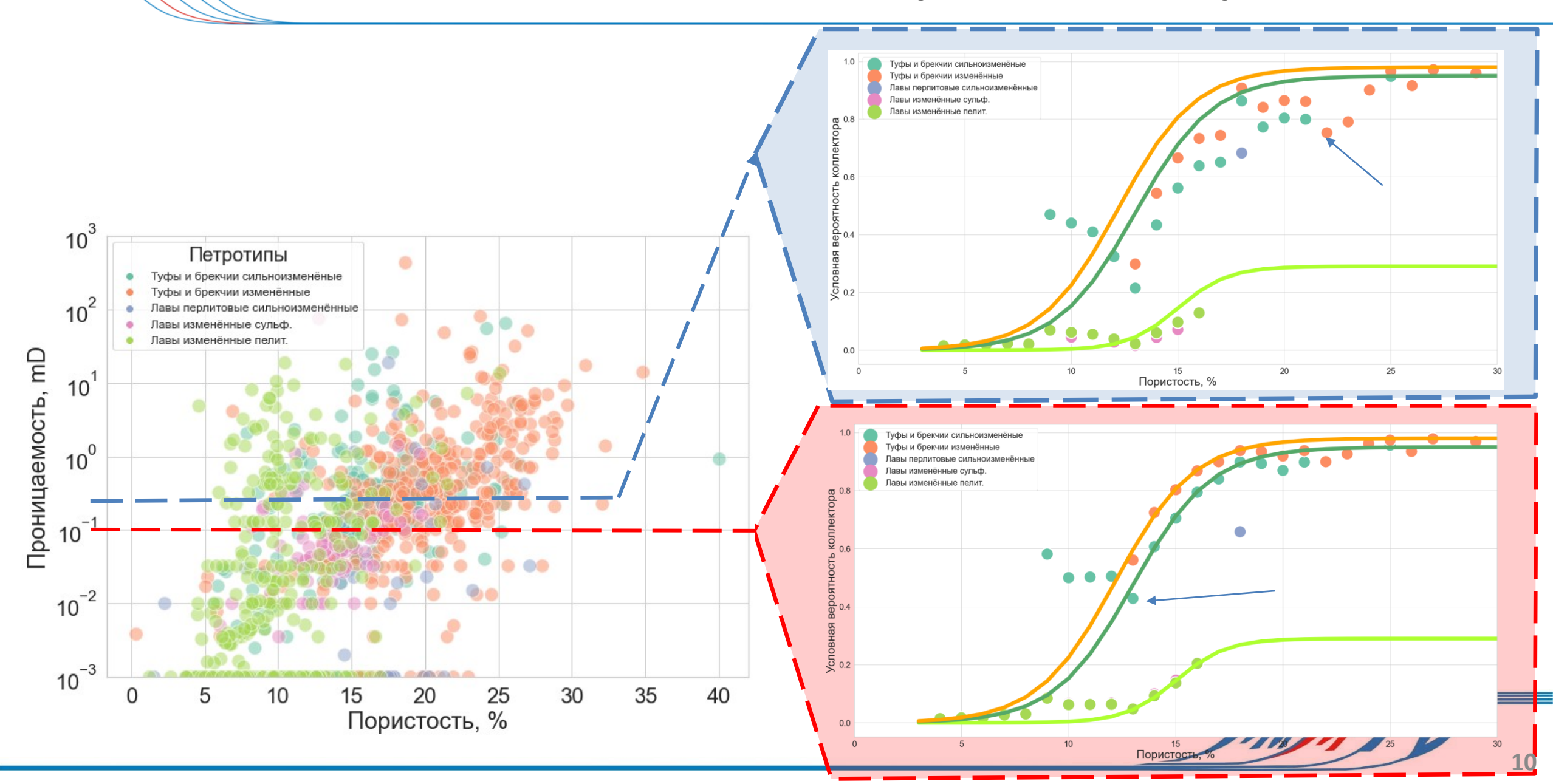


Туфы и брекчии сильноизменёные

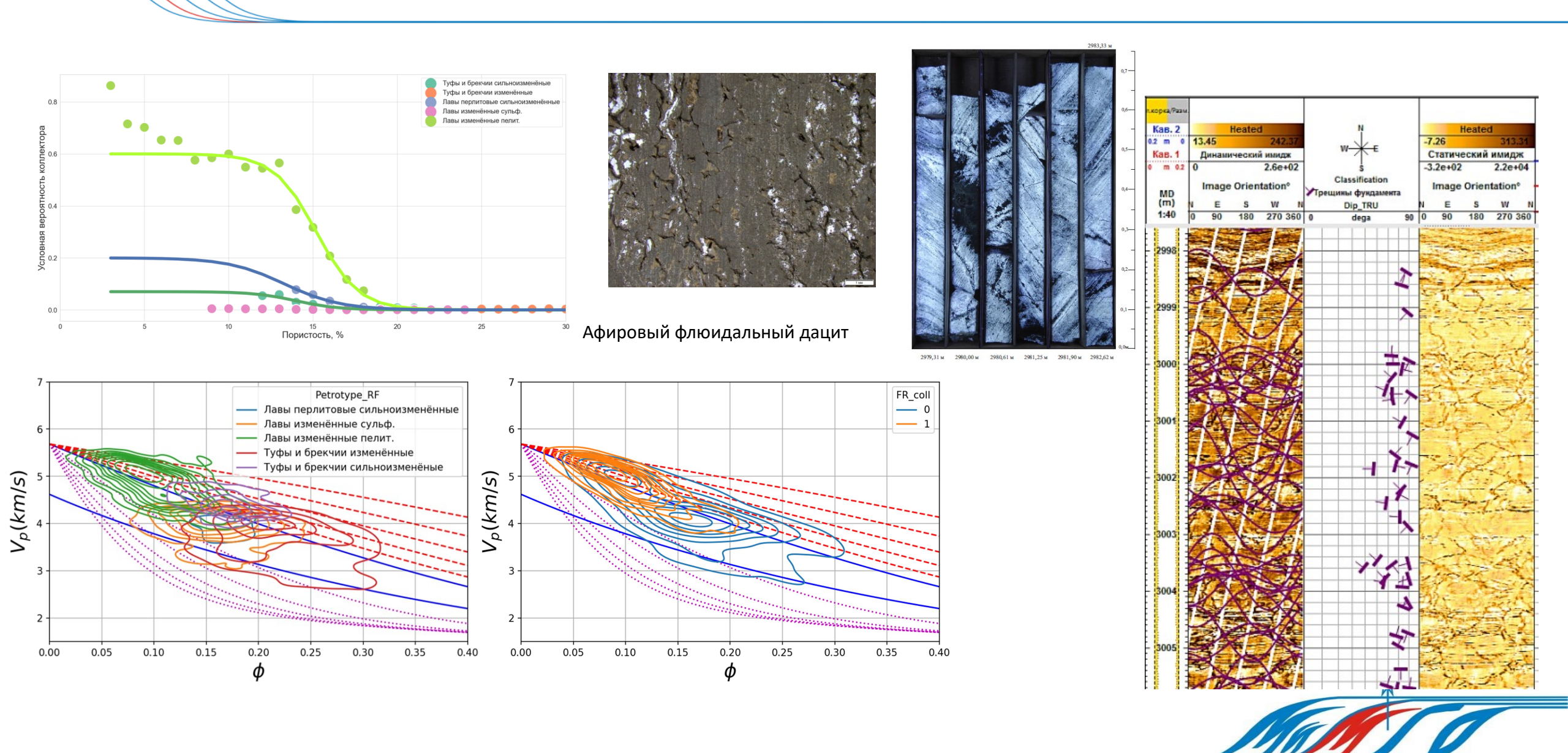
Лапиллиево-пепловый порфирокластовый кристаллокластический дацитовый туф



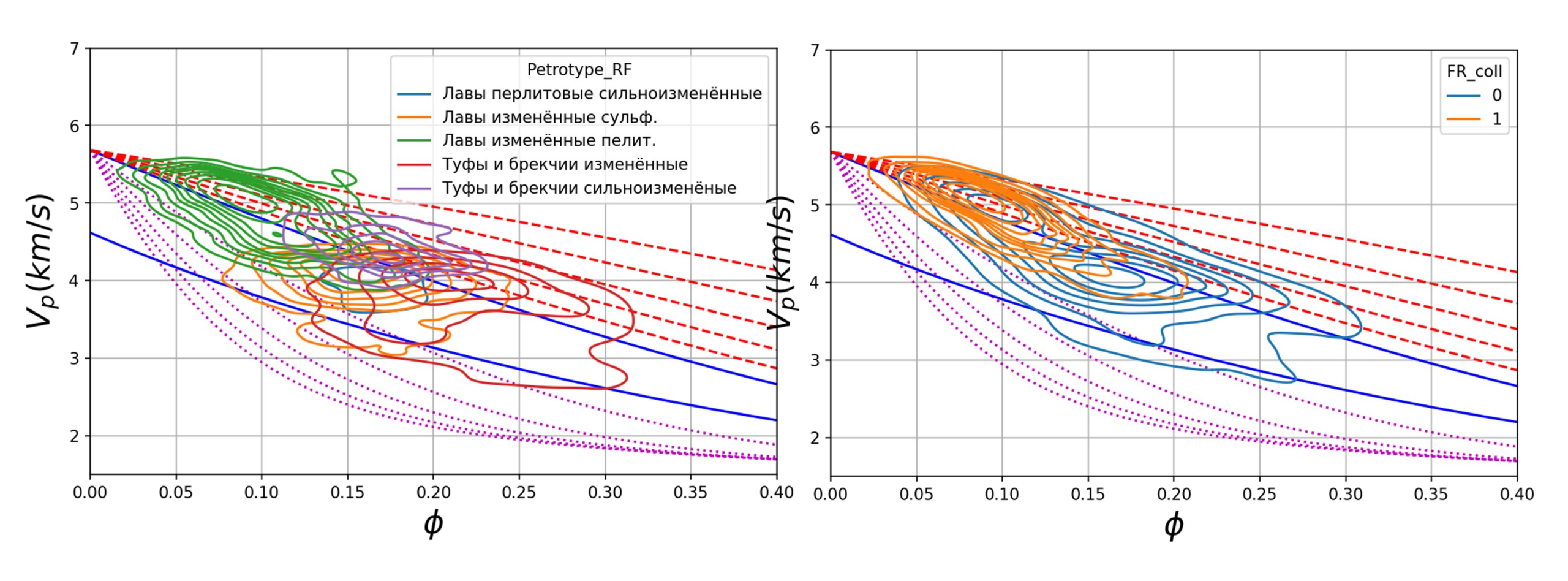
#### Анализ данных измерений ФЕС керна



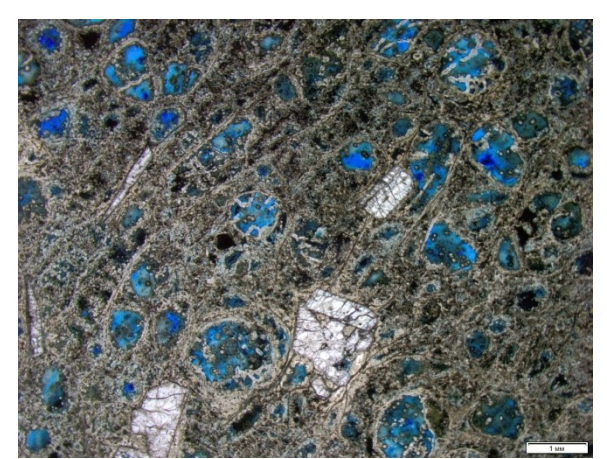
#### Анализ данных FMI



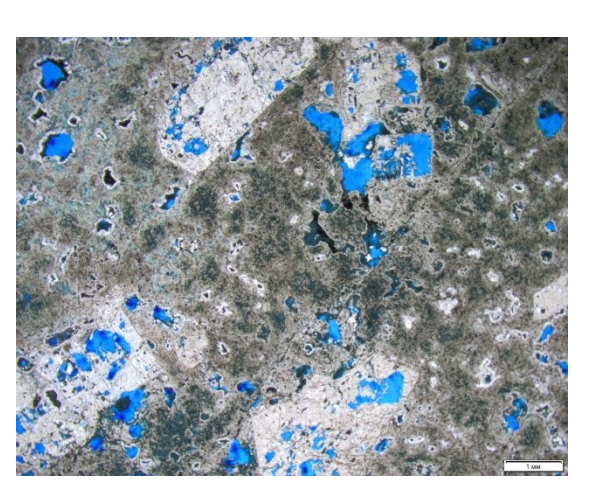
#### Модель Xu-Payne



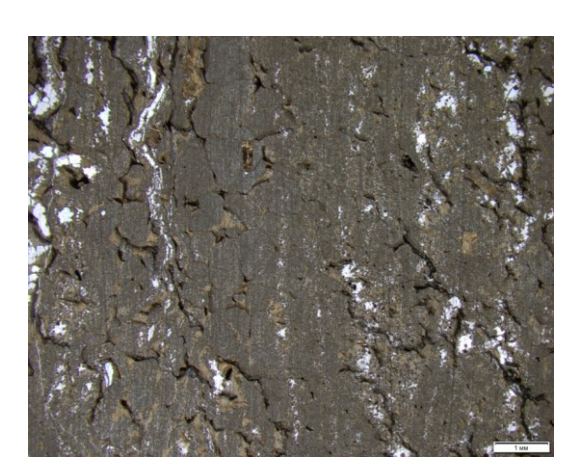
#### Структуры эффузивов



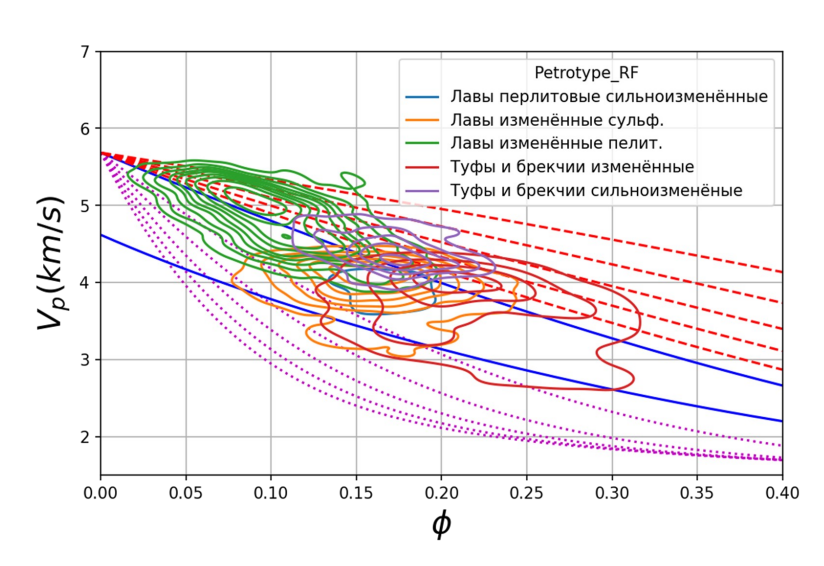
Порфировые перлитовые дациты с вкрапленниками полевых шпатов и пустотами, приуроченными к перлитам

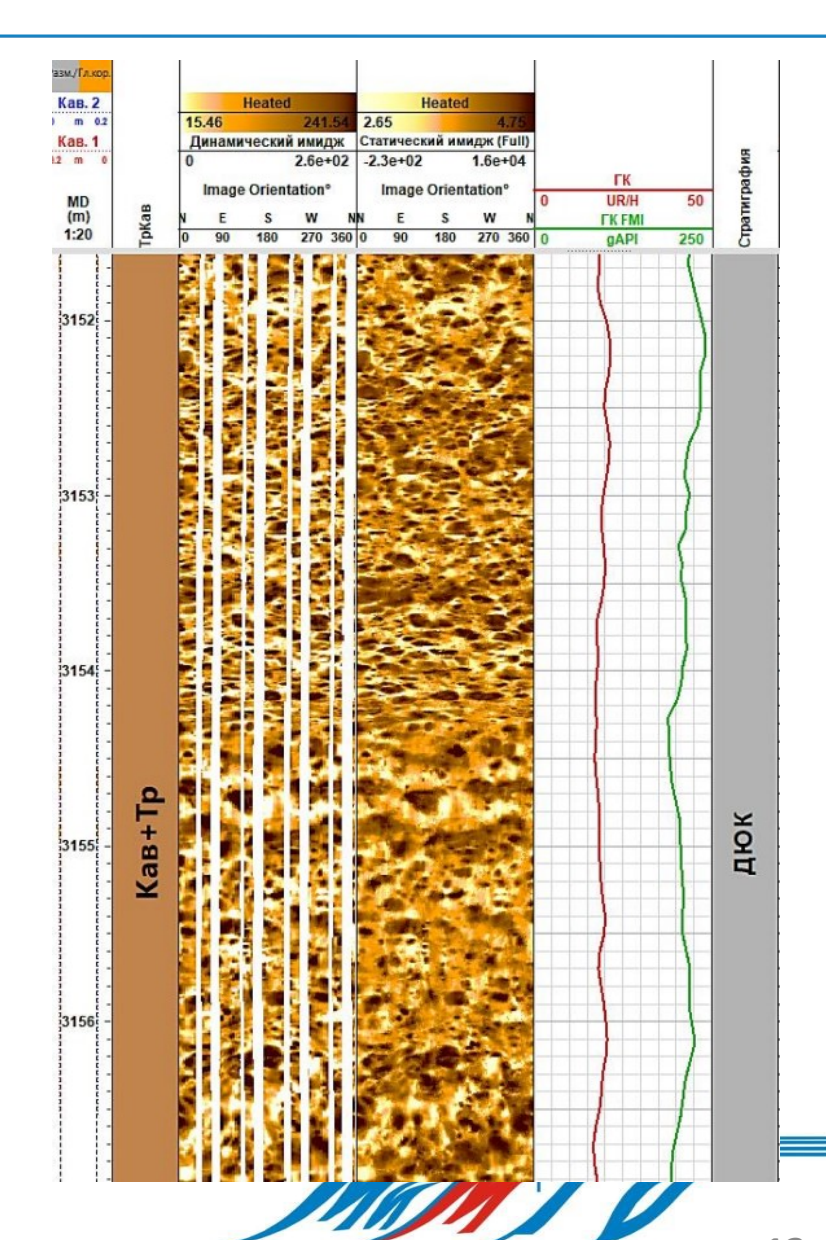


Миндалекаменный дацит.

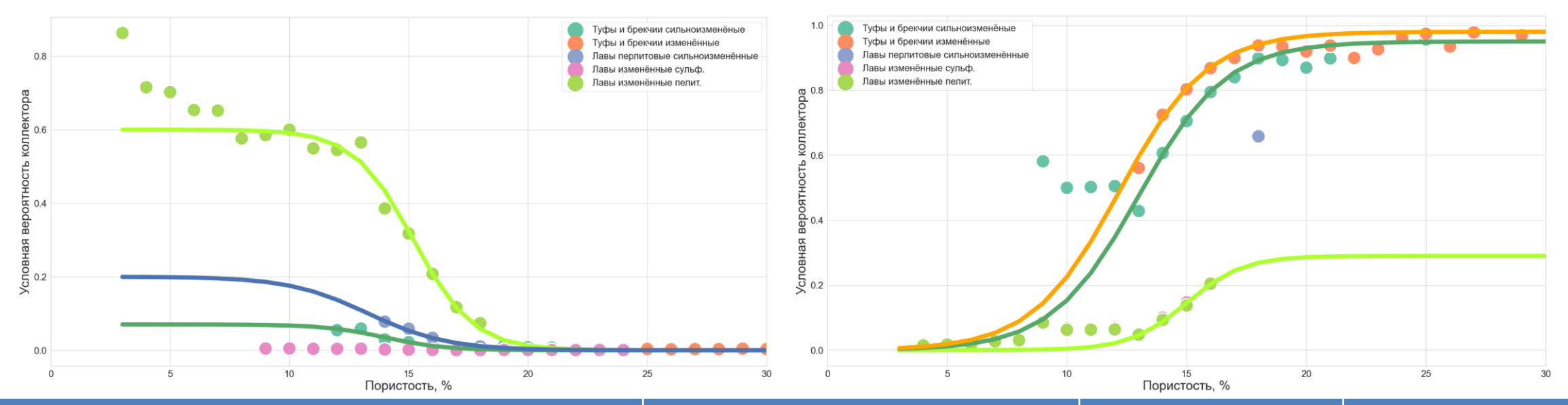


Афировый флюидальный дацит



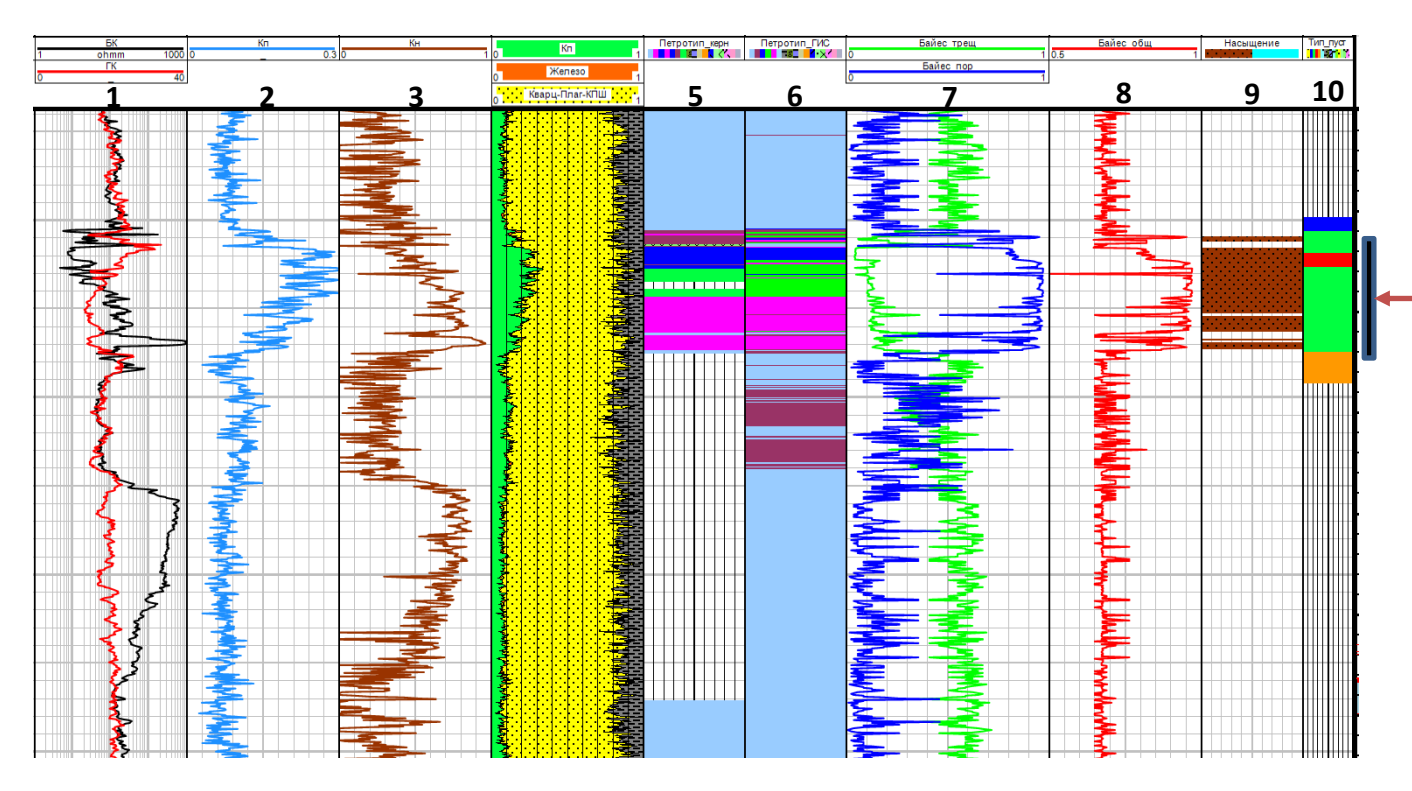


# Условная вероятность по типу пород. Определение функции сигмоид. Типы коллекторов



Название петротипа	Границы пористости	Тип коллектора	Номер
Туфы и брекчии сильноизменённые	12% < Кп < 22%	Каверново – поровый	Тип 3 Б
	Кп > 21%	Порово – каверновый	Тип 4 Б
	Кп <= 13%	Каверново – трещинный	Тип 2 Б
Туфы и брекчии изменённые	12% < Кп < 22%	Каверново – поровый	Тип 3 А
	> 21	Порово – каверновый	Тип 4 А
Лавы изменённые сульфатизированные, Лавы перлитовые сильноизменённые		Каверново -трещинный	Тип 2 В
Лавы изменённые пелитизированные	Кп > 7%	Каверново – трещинный	Тип 2 А
	Кп < 8 %	Трещинно - каверновый	Тип 1

#### Граф определения интервала испытаний



1- кривые бокового и радиоактивного каротажа; 2 и 3 — кривые Кп и Кн, соответственно; 4 — объемная модель; 5 и 6 - петротипы по керну и ГИС, соответственно; 7 — вероятности трещинного (зеленая) и порового (синяя) коллектора по Байесу; 8 — общая вероятность коллектора; в 9 — характер насыщения порового коллектора; 10 — тип пустотного пространства (синий — каверново-трещинный, зеленый — каверново-поровый, красный — порово-каверновый, оранжевый — трещинно-каверновый)

1. Рассчитаем ФЕС – объёмная модель, модель Арчи-Дахнова 2. Рассчитываем петротип – 'Random Forest' Рассчитываем вероятность **УСЛОВНУЮ** порогового типа коллектора и вероятность проводящих трещин общую Рассчитываем вероятность коллектора 5. Определяем мощность интервала испытания Подбираем интервал, в котором сумма вероятности нефтяного коллектора будет максимальная.

#### Результаты

- На основе теоремы Байеса и функций сигмоидов рассчитана пропорция коллекторов, которая соответствует эффективной толщине коллектора для каждого интервала глубин в зависимости от петротипа и пористости.
- На примере кислых вулканитов Западной Сибири показано, каким образом можно оценивать эффективные толщины в случае отсутствия однозначных количественных и качественных критериев разделения пород на коллектор/неколлектор
- На основе интерпретации вероятности коллектора по разрезу предложен граф определения интервала испытаний

#### Выводы

- Условная вероятность позволяет органично объединять различные типы данных в единую систему
- Полученный методика на основе условной вероятности позволила оптимизировать подбор интервалов для испытаний скважин
- Полученные результаты интерпретации скважин на основе представленного графа были использованы для пересмотра потенциала рассмотренного месторождения
- Представленная методика может быть использована для пересмотра потенциала и оптимизации разработки месторождений кислых вулканитов
- Полученный алгоритм решения может быть применим к другим объектам со сложным литологическим строением коллектора для решения задач оптимальной разработки месторождения

## ЗАО «МОДЕЛИРОВАНИЕ И МОНИТОРИНГ ГЕОЛОГИЧЕСКИХ ОБЪЕКТОВ ИМЕНИ В.А.ДВУРЕЧЕНСКОГО» (ЗАО «МиМГО»)

### СПАСИБО ЗА ВНИМАНИЕ

